

東京工業大学 学生員 依知川 哲治
 東京工業大学 正 員 吉田 裕
 東京工業大学 正 員 野村 卓史

1. はじめに 水で飽和された地盤の振動問題および圧密問題の力学的挙動は、土骨格の特性のみならず間隙水部分の影響を受ける事となる。この間隙水の影響に着目した理論の一つに、Biotによる、飽和地盤を水の充満した多孔質体として扱って定式化された理論¹⁾があり、これに基づいて間隙水の移動、消散の影響を表現し得る飽和地盤の動的解析法を有限要素法により構成したのでここに報告する。

2. 基礎方程式とその空間に関する離散化 Biotの理論において、水で飽和された多孔質体の単体積当りの動的つりあい式は次の様な方程式となる。

$$\text{土塊全体} : (\sigma'_{ij} - p\delta_{ij}), j = \rho \ddot{u}_i + \rho_f \ddot{w}_i \quad (1)$$

$$\text{間隙水部分} : -p, i = \rho_f \ddot{u}_i + m \ddot{w}_i + \frac{\rho_f g}{k(i)} \dot{w}_i \quad (2)$$

但し、 $m = (f\rho_f + \rho_a)/f^2$, f : 間隙率

ここに、 σ'_{ij} は有効応力、 P は間隙水圧、 u_i は土骨格の変位、 w_i は骨格と間隙水圧部分の相対変位であり、また、 ρ 、 ρ_f は土塊および間隙水の密度、 ρ_a は骨格、間隙水両者の相互作用による付加質量、 $k(i)$ は透水係数、 g は重力加速度である。

応力-ひずみ関係は、ここでは骨格部分の応力-ひずみ関係が線形弾性、間隙水が圧縮性を持つ場合を対象とする。このとき、次の様な関係となる。

$$\sigma'_{ij} - p\delta_{ij} = 2Ne_{ij} + \delta_{ij}(\lambda_c e - \alpha M\xi) \quad (3)$$

$$p = -\alpha Me + M\xi$$

但し

$$e_{ij} = \frac{1}{2}(u_{i,j} + u_{j,i}), e = u_{i,i}, \xi = w_{i,i}$$

ここに、 N はせん断に関する材料定数、 λ_c 、 α 、 M は圧縮性に関する材料定数である。

本研究では、動的つりあい式(1)、(2)式に対し、(3)式を代入し、変位 u 、 w の分布を重み関数に、Galerkin法の手法に従ってそれぞれ空間に関する離散化を行った。ここで変位 u 、 w に対して用いた補間関数はいずれも要素内線形補間の関数である。離散化により得られたマトリックス方程式は、連立させて次の様に書くことができる。

$$\begin{bmatrix} M_{\alpha\alpha} & M_{\alpha\beta} \\ M_{\beta\alpha} & M_{\beta\beta} \end{bmatrix} \begin{Bmatrix} \ddot{u} \\ \ddot{w} \end{Bmatrix} + \begin{bmatrix} 0 & 0 \\ 0 & C_{\beta\beta} \end{bmatrix} \begin{Bmatrix} \dot{u} \\ \dot{w} \end{Bmatrix} + \begin{bmatrix} K_{\alpha\alpha} & K_{\alpha\beta} \\ K_{\beta\alpha} & K_{\beta\beta} \end{bmatrix} \begin{Bmatrix} u \\ w \end{Bmatrix} = \begin{Bmatrix} F_{\alpha} \\ F_{\beta} \end{Bmatrix} \quad (4)$$

(4)式に対し、境界条件を導入し、変位 u 、 w を未知の項と既知の項に分離し、縮約すると、 u 、 w の未知の部分をもとめて v とおく事により解くべき方程式は次の様になる。

$$M \ddot{v} + C \dot{v} + K v = F \quad (5)$$

ここで、係数マトリックス M 、 C 、 K はいずれも対称なマトリックスである。

3. 方程式の直接時間積分 空間の離散化により、得られた時間に関する2階のマトリックス方程式(5)に対し、本研究では次の様な漸化関係により解法を構成した。(5)式は、これと等価な次の様な1階の方程式に変換でき、

$$\begin{bmatrix} (C-M-K)^{-1} & 0 \\ 0 & M \end{bmatrix} \begin{Bmatrix} \dot{S} \\ \dot{v} \end{Bmatrix} + \begin{bmatrix} (C-M-K)^{-1} & I \\ I & C-M \end{bmatrix} \begin{Bmatrix} S \\ v \end{Bmatrix} = \begin{Bmatrix} F^* \\ 0 \end{Bmatrix} \quad (6)$$

$$\text{但し、} S = -M \dot{v} - (C-M)v, F^* = -(C-M-K)^{-1}F$$

I : 単位行列

これに対し、著者らが開発した高精度直接時間積分法²⁾を適用する事により、時刻 $t=ti$ から t_{i+1} への変数 ϕ^* を介した次の様な漸化関係式が得られる。

$$\begin{aligned} k_{11}^* \phi^* &= x_{ti}^* + f_{i,i+1}^* \\ x_{t_{i+1}}^* &= -k_{11}^* \phi^* + f_{i+1,i}^* \end{aligned} \quad (7)$$

但し、

$$x_{ti}^* = \begin{Bmatrix} -\dot{v}_{ti} - (C^*-I)v_{ti} \\ v_{ti} \end{Bmatrix}, x_{t_{i+1}}^* = \begin{Bmatrix} -\dot{v}_{t_{i+1}} - (C^*-I)v_{t_{i+1}} \\ v_{t_{i+1}} \end{Bmatrix}$$

$$f_{i,i+1}^* = -\frac{1}{6}M^2 \begin{Bmatrix} 2F_{ti} + F_{t_{i+1}} \\ 0 \end{Bmatrix}, f_{i+1,i}^* = -\frac{1}{6}M^2 \begin{Bmatrix} 2F_{t_{i+1}} + F_{ti} \\ 0 \end{Bmatrix}$$

$$k_{11}^* = \begin{bmatrix} (1 + \frac{1}{tm})I + \frac{tm}{3}(C^*-K^*) & \frac{tm}{3}(C^*-K^*)C^*-C^* + (C^*-I)-I \\ \frac{tm}{3}C^* + I & \frac{tm}{3}(C^*C^*-C^*-K^*) + C^* + (\frac{1}{tm}-1)I \end{bmatrix}$$

$$k_{21}^* = \begin{bmatrix} -\frac{1}{tm}I + \frac{tm}{6}(C^*-K^*) & \frac{tm}{6}(C^*-K^*)C^*-C^* \\ \frac{tm}{6}C^* & \frac{tm}{6}(C^*C^*-C^*-K^*) - \frac{1}{tm}I \end{bmatrix}$$

$$C^* = M^2 C, K^* = M^2 K, tm: \text{積分時間間隔}$$

1ステップの求解過程は、時刻 $t=ti$ における変

位 v_{t_i} およびその時間微分 \dot{v}_{t_i} 、1つの積分時間隔の両端の時刻 t_i, t_{i+1} における外乱 $F_{t_i}, F_{t_{i+1}}$ が与えられる事により、(7)式の漸化関係式を用いて時刻 $t=t_{i+1}$ における変位 $v_{t_{i+1}}$ および $\dot{v}_{t_{i+1}}$ が求められ、さらに変位により応力、間隙水圧が求められる、というものである。

この漸化関係式では、 k_{11}^* 、 k_{21}^* の作成のためのアルゴリズムがかなり複雑となるがこの過程において必要とする逆行列は M^2 のみであり、また、時間方向に解き進めていく段階では連立一次方程式を解く事のみでよく、逆行列計算は必要としない。また、この直接積分法は、無条件安定な解法となっているが、積分法の詳細についての報告は他の機会に譲りたい。

4. 解析例 Biotの多孔質弾性体の理論に対する解析解は、調べた限りにおいては見つける事ができなかったため、構成した解析法の妥当性の検証として、一次元圧密問題を図-1のモデルで解析し、Terzaghiの理論解と比較を行った。

図-2は間隙水圧の深さ方向の分布を時間を追って示したもので破線がTerzaghiの理論解、実線が本解析の結果である。本解析では上部にかかる荷重は図-3の様になめらかに立ち上げた後一定として解析した。解析結果は、上部では理論解とかなりずれているものの、全体としてはよく対応した結果となっている。次に、地盤上に建物が建っている問題に対して図-4のモデル解析した。荷重条件は人工的なものではあるが、建物部分に対し、その自重に相当する荷重を、1秒間でなめらかに立ち上げた後、その直後から地盤の底部を強制的に振動させた。図-5は変形図、図-6は間隙水圧の分布図である。変形図より地盤の振動による変形と建物の圧密による沈下が並行して起っている様子が、間隙水圧分布図より間隙水の消散の様子がみられる。

(参考文献)

- 1) Biot, M.A. 'Mechanics of Deformation and Acoustic Propagation in Porous Media' J. Appl. Phys. vol. 33, No. 4, 1962
- 2) 吉田, 藤原, 野村, '熱伝導型方程式の直接時間積分と高精度化のアルゴリズム' 土論集, 1981, 9

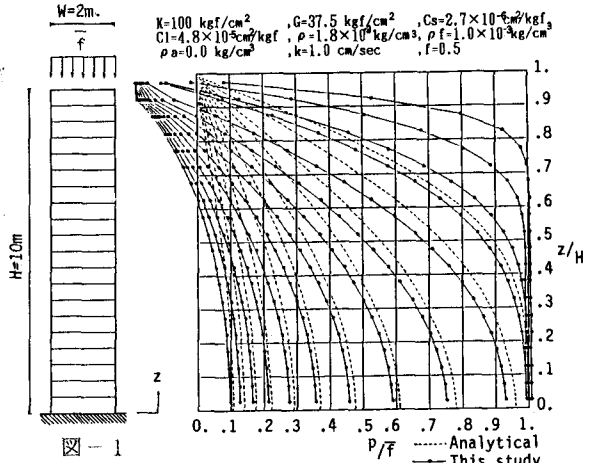


図-1

解析モデル 1

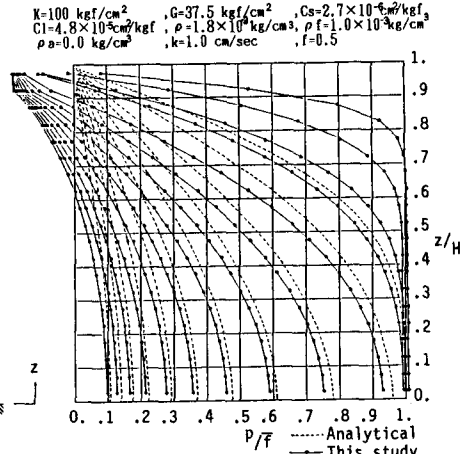


図-2 無次元化間隙水圧の

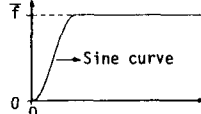


図-3 荷重の立ち上げ

等時曲線

地盤 $K=100 \text{ kgf/cm}^2, G=37.5 \text{ kgf/cm}^2, C_s=2.7 \times 10^{-6} \text{ m}^2/\text{kgf}$
 $C_l=4.8 \times 10^{-6} \text{ cm}^2/\text{kgf}, \rho=1.8 \times 10^3 \text{ kg/cm}^3, \rho_f=1.0 \times 10^3 \text{ kg/cm}^3$
 $\rho_a=0.0 \text{ kg/cm}^3, k=0.1 \text{ cm/sec}, f=0.5$

建物 $K=2.0 \times 10^6 \text{ kgf/cm}^2, G=7.5 \times 10^5 \text{ kgf/cm}^2$
 $\rho=2.0 \times 10^4 \text{ kg/cm}^3$

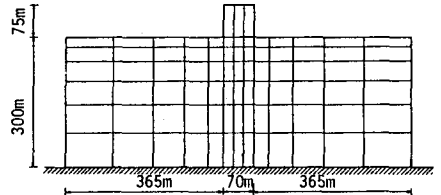


図-4 解析モデル 2

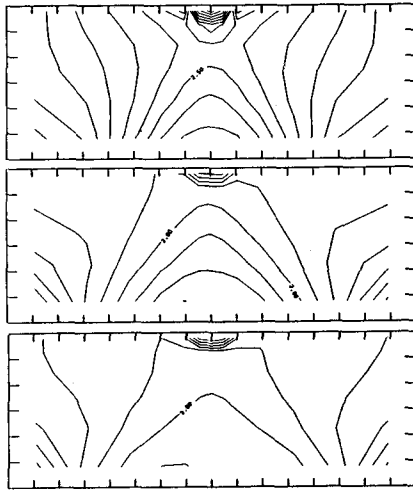


図-6 間隙水圧の分布 (上から $t=3, 7, 17$ 秒)

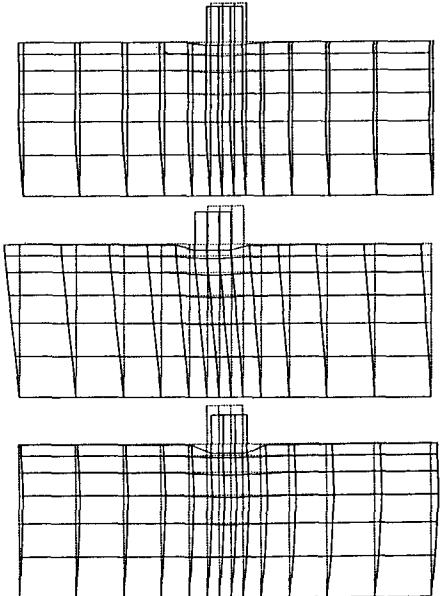


図-5 変形図 (上から $t=3, 7, 17$ 秒)